



(12) 发明专利申请

(10) 申请公布号 CN 104178115 A

(43) 申请公布日 2014. 12. 03

(21) 申请号 201310194961. 6

C07F 15/00 (2006. 01)

(22) 申请日 2013. 05. 22

H01L 51/54 (2006. 01)

(71) 申请人 海洋王照明科技股份有限公司

地址 518100 广东省深圳市南山区南海大道
海王大厦 A 座 22 层

申请人 深圳市海洋王照明技术有限公司
深圳市海洋王照明工程有限公司

(72) 发明人 周明杰 王平 张娟娟 钟铁涛

(74) 专利代理机构 广州华进联合专利商标代理
有限公司 44224

代理人 何平

(51) Int. Cl.

C09K 11/06 (2006. 01)

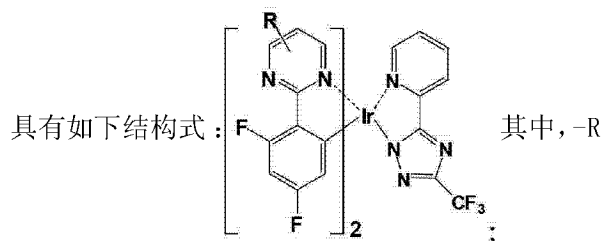
权利要求书3页 说明书15页 附图3页

(54) 发明名称

蓝光有机电致磷光材料及其制备方法与应用

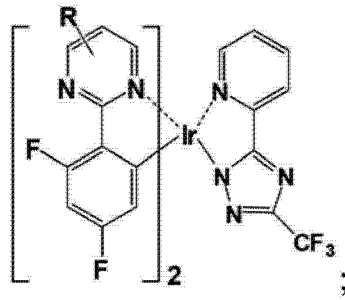
(57) 摘要

本发明公开了一种蓝光有机电致磷光材料，



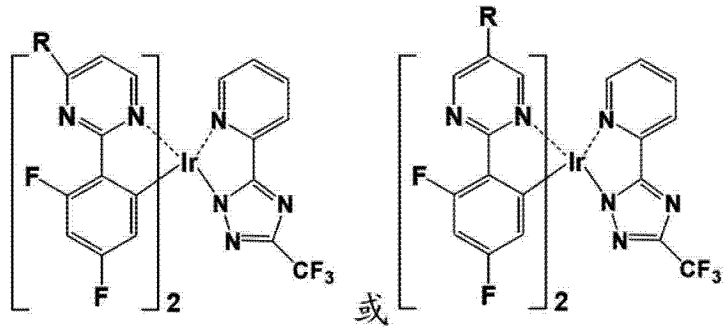
为通式为 $-C_nH_{2n+1}$ 的直链烷氧基或支链烷氧基， n 为 1 ~ 20 的整数。这种蓝光有机电致磷光材料以 2-(2', 4' - 二氟苯基) 嘧啶为环金属配体主体结构，以 3- 三氟甲基 -5-(2' - 吡啶基) -1, 2, 4- 三唑为辅助配体，将烷氧基引入嘧啶环中可以获得满意的能量传输效率和蓝光发光波长。相对于传统的蓝光磷光材料，这种蓝光有机电致磷光材料的色纯度较高。本发明还公开了上述蓝光有机电致磷光材料的制备方法以及采用该蓝光有机电致磷光材料的有机电致发光器件。

1. 一种蓝光有机电致磷光材料,其特征在于,具有如下结构式:



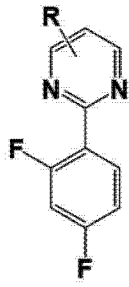
其中, -R 为通式为 $-C_nH_{2n+1}$ 的直链烷氧基或支链烷氧基, n 为 1 ~ 20 的整数。

2. 根据权利要求 1 所述的蓝光有机电致磷光材料,其特征在于,所述蓝光有机电致磷光材料的结构式为:



3. 一种蓝光有机电致磷光材料的制备方法,其特征在于,包括如下步骤:

提供具有如下结构式的化合物 D,

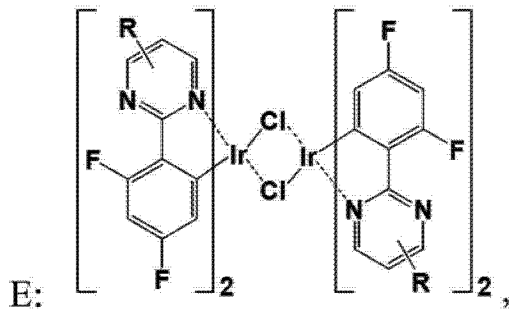


D:

其中, -R 为通式为 $-C_nH_{2n+1}$ 的直链烷氧基或支链烷氧基, n 为 1 ~ 20 的

整数;

在保护气体氛围下,将所述化合物 D 和 $IrCl_3 \cdot 3H_2O$ 溶解在第一溶剂中,在回流状态下搅拌反应 22h ~ 25h,分离纯化后得到化合物 E,所述化合物 E 的结构式如下,



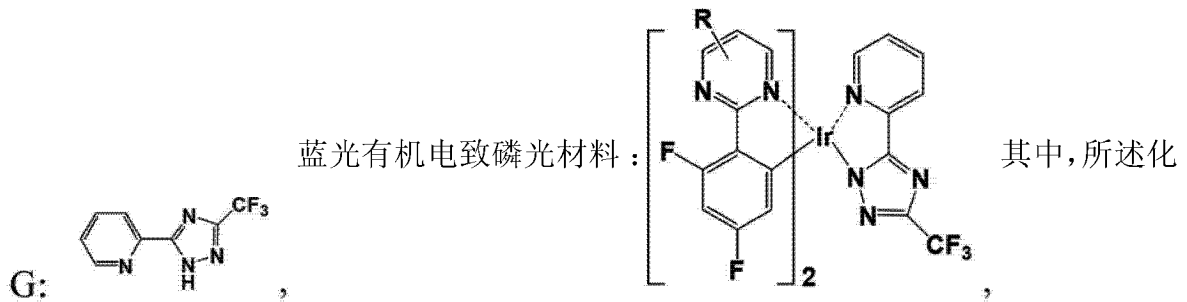
E:

其中,所述化合物 D 和 $IrCl_3 \cdot 3H_2O$ 的摩尔比为

2 ~ 3:1;

在所述保护气体氛围中,第二溶剂和催化剂存在的条件下,将所述化合物 E 和化合物 G

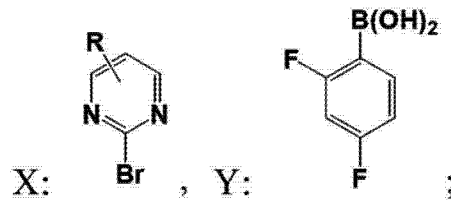
在回流状态下搅拌反应 15h ~ 20h, 分离纯化后得到所述蓝光有机电致磷光材料, 所述化合物 G 和所述蓝光有机电致磷光材料的结构式如下,



合物 E 和所述化合物 G 的摩尔比为 1:2 ~ 2.5。

4. 根据权利要求 3 所述的蓝光有机电致磷光材料的制备方法, 其特征在于, 所述化合物 D 通过如下步骤制备得到,

提供具有如下结构式的化合物 X 和化合物 Y,



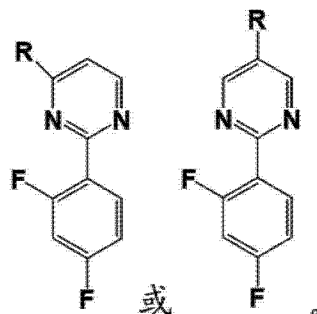
在所述保护气体氛围中, 有机钯催化剂、碱液和有机溶剂存在的条件下, 将所述化合物 X 和所述化合物 Y 在回流状态下搅拌 8h ~ 15h 进行 Suzuki 耦合反应, 分离纯化后得到所述化合物 D, 其中, 所述化合物 X 和所述化合物 Y 的摩尔比为 1:1 ~ 2.5。

5. 根据权利要求 4 所述的蓝光有机电致磷光材料的制备方法, 其特征在于, 所述有机钯催化剂为 Pd(PPh₃)₄ 或 Pd(PPh₃)₂Cl₂, 所述有机钯催化剂与所述化合物 X 的摩尔比为 4 ~ 6:100;

所述碱液为 Na₂CO₃ 或 K₂CO₃ 的水溶液, 所述碱液中溶质的摩尔数与所述化合物 X 的摩尔比为 2.4 ~ 3:1;

所述有机溶剂为甲苯或 N, N-二甲基甲酰胺。

6. 根据权利要求 3 所述的蓝光有机电致磷光材料的制备方法, 其特征在于, 所述化合物 D 的结构式为:



7. 根据权利要求 3 所述的蓝光有机电致磷光材料的制备方法, 其特征在于, 所述保护气体氛围为氮气氛围或惰性气体氛围;

所述第一溶剂为体积比为 3:1 的 2-乙氧基乙醇和水的混合液;

所述第二溶剂为 1, 2-二氯乙烷、2-乙氧基乙醇或 2-甲氧基乙醇;

所述催化剂为甲醇钠或乙醇钠；

所述催化剂和所述化合物 E 的摩尔比为 8 ~ 12 : 1。

8. 根据权利要求 3 所述的蓝光有机电致磷光材料的制备方法,其特征在于,所述分离纯化后得到化合物 E 的操作为:混合体系冷却至室温后除去部分溶剂,加入蒸馏水沉析,过滤后保留滤渣,并依次用蒸馏水和甲醇洗涤所述滤渣,干燥后得到所述化合物 E。

9. 根据权利要求 3 所述的蓝光有机电致磷光材料的制备方法,其特征在于,所述分离纯化后得到蓝光有机电致磷光材料的操作为:混合体系冷却至室温后除去部分溶剂,加入蒸馏水沉析,过滤后保留固体,并依次用甲醇和去离子水洗涤所述固体,最后用二氯甲烷和无水乙醇的混合液将所述固体重结晶,得到所述蓝光有机电致磷光材料。

10. 一种有机电致发光器件,包括依次层叠的基板、阳极、空穴注入层、空穴传输层、电子阻挡层、发光层、空穴阻挡层、电子传输层、电子注入缓冲层及阴极,其特征在于,所述发光层的材料包括发光主体材料和掺杂于所述发光主体材料中的发光客体材料,所述发光客体材料为权利要求 1 或 2 所述的蓝光有机电致磷光材料。

蓝光有机电致磷光材料及其制备方法与应用

技术领域

[0001] 本发明涉及有机电致发光领域,尤其涉及一种蓝光有机电致磷光材料及其制备方法与应用。

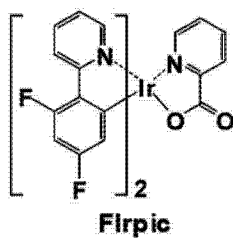
背景技术

[0002] 有机电致发光是指有机材料在电场作用下,将电能直接转化为光能的一种发光现象。早期由于有机电致发光器件的驱动电压过高、发光效率很低等原因而使得对有机电致发光的研究处于停滞状态。直到 1987 年,美国的 Tang 等人发明了以 8-羟基喹啉铝 (Alq_3) 为发光材料,与芳香族二胺制成均匀致密的高质量薄膜,制得了低工作电压、高亮度、高效率的有机电致发光器件,开启了对有机电致发光材料研究的新序幕。但由于受到自旋统计理论的限制,荧光材料的理论内量子效率极限仅为 25%,如何充分利用其余 75% 的磷光来实现更高的发光效率成了此后该领域中的热点研究方向。1997 年,Forrest 等发现磷光电致发光现象,有机电致发光材料的内量子效率突破了 25% 的限制,使有机电致发光材料的研究进入另一个新时期。

[0003] 在随后的研究中,小分子掺杂型过渡金属的配合物成了人们的研究重点,如铱、钇、铂等的配合物。这类配合物的优点在于它们能从自身的三线态获得很高的发射能量,而其中金属铱 (III) 化合物,由于稳定性好,在合成过程中反应条件温和,且具有很高的电致发光性能,在随后的研究过程中一直占着主导地位。而为了使器件得到全彩显示,一般必须同时得到性能优异的红光、绿光和蓝光材料。与红光和绿光材料相比,蓝光材料的发展相对而言较滞后,提高蓝光材料的效率和色纯度就成了人们研究的突破点。

[0004] Holmes R J, Forrest S R 等人在 *App. Phys. Lett.*, 2003, 82 (15): 2422-2424 文章中公开了双 [2-(4', 6' - 二氟苯基) 吡啶 -N, C^{2'}] (2-吡啶甲酰) 合铱 (FIrpic), 是目前报道最多,也是综合性能最好的蓝光有机电致磷光材料,其结构式如下所示:

[0005]

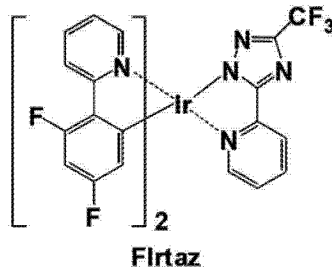


[0006] 虽然人们对 FIrpic 类 OLED 结构进行了各种优化,器件性能也得到了很大的提高,但 FIrpic 最大的弱点就是所发的蓝光为天蓝色,蓝光色纯度欠佳,制作的各 OLED 器件的 CIE 在 (0.13 ~ 0.17, 0.29 ~ 0.39) 间变化,这与标准蓝光 CIE (0.137, 0.084) 间有很大的差距。

[0007] Yeh S-J, Wu M-F, Chen C-T 等人在 *Adv. Mater.*, 2005, 17 (3): 285-289 文章中公开了以 3-三氟甲基-5-(2'-吡啶基)-1,2,4-三唑为辅助配体的蓝光有机电致磷光材料铱金属配合物双 [2-(4', 6' - 二氟苯基) 吡啶 -N, C^{2'}] (3-三氟甲基-5-(2'-吡啶

基)-1,2,4-三唑)合铱(FIrtaz)。相同器件结构的FIrtaz器件的CIE较FIrpic器件的(0.16, 0.37)相比较,蓝光色纯度得到提高。高场强辅助配体3-三氟甲基-5-(2'-吡啶基)-1,2,4-三唑的引入有效地蓝移了材料的发光波长,蓝光色纯度较高,成为异配型蓝色磷光铱配合物发光材料的首选辅助配体之一。FIrtaz的结构式如下:

[0008]



[0009] 随着对有机电致磷光材料铱金属配合物的研究的深入,传统的蓝光磷光材料在发光色纯度和发光效率等方面存在瓶颈问题。因此,研发出高色纯度的蓝色磷光有机电致发光材料在拓展蓝光材料研究领域具有重大的意义。

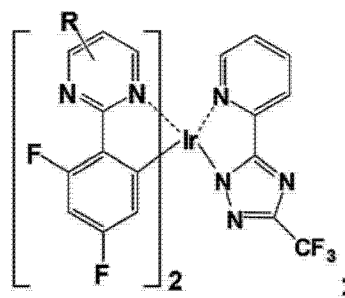
发明内容

[0010] 基于此,有必要提供一种色纯度较高的蓝光有机电致磷光材料及其制备方法。

[0011] 此外,还有必要提供一种采用色纯度较高的蓝光有机电致磷光材料的有机电致发光器件。

[0012] 一种蓝光有机电致磷光材料,具有如下结构式:

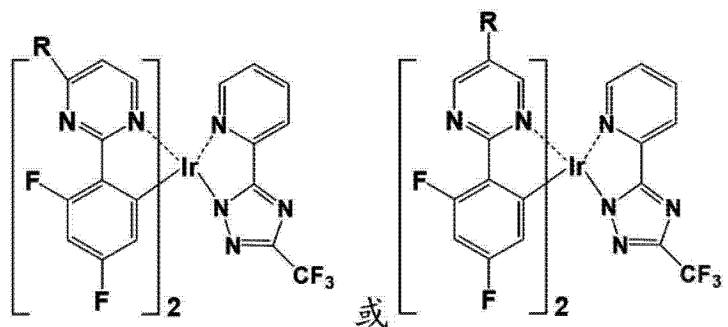
[0013]



[0014] 其中,-R为通式为 $-C_nH_{2n+1}$ 的直链烷氧基或支链烷氧基,n为1~20的整数。

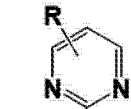
[0015] 在一个实施例中,所述蓝光有机电致磷光材料的结构式为:

[0016]



[0017] 一种蓝光有机电致磷光材料的制备方法,包括如下步骤:

[0018] 提供具有如下结构式的化合物 D,

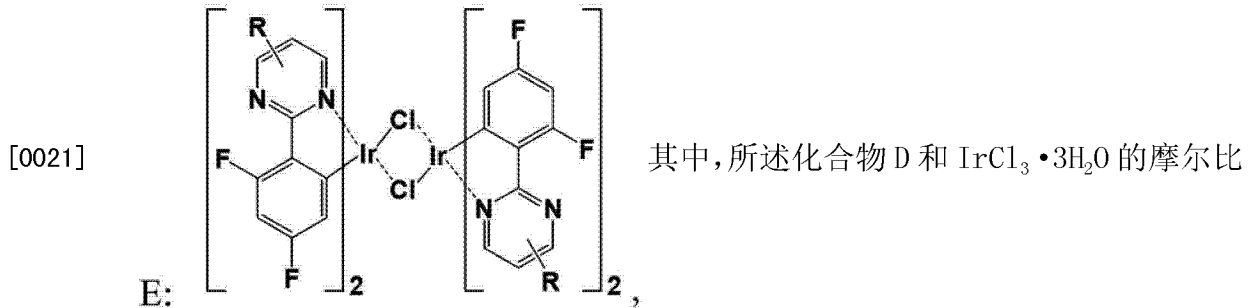


[0019] 其中, -R 为通式为 $-C_nH_{2n+1}$ 的直链烷氧基或支链烷氧基, n 为 1 ~

D: ,

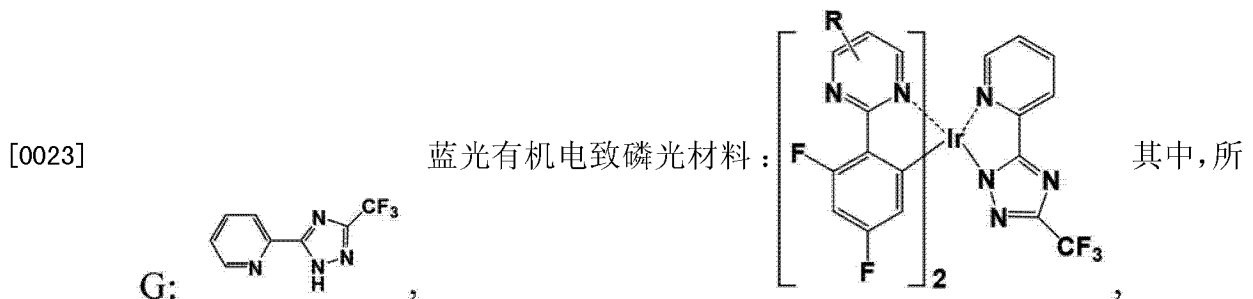
20 的整数;

[0020] 在保护气体氛围下,将所述化合物 D 和 $IrCl_3 \cdot 3H_2O$ 溶解在第一溶剂中,在回流状态下搅拌反应 22h ~ 25h,分离纯化后得到化合物 E,所述化合物 E 的结构式如下,



为 2 ~ 3:1;

[0022] 在所述保护气体氛围中,第二溶剂和催化剂存在的条件下,将所述化合物 E 和化合物 G 在回流状态下搅拌反应 15h ~ 20h,分离纯化后得到所述蓝光有机电致磷光材料,所述化合物 G 和所述蓝光有机电致磷光材料的结构式如下,

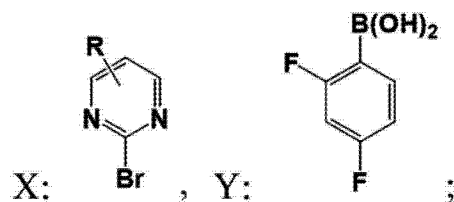


述化合物 E 和所述化合物 G 的摩尔比为 1:2 ~ 2.5。

[0024] 在一个实施例中,所述化合物 D 通过如下步骤制备得到,

[0025] 提供具有如下结构式的化合物 X 和化合物 Y,

[0026]



[0027] 在所述保护气体氛围中,有机钯催化剂、碱液和有机溶剂存在的条件下,将所述化合物 X 和所述化合物 Y 在回流状态下搅拌 8h ~ 15h 进行 Suzuki 耦合反应,分离纯化后得

到所述化合物 D,其中,所述化合物 X 和所述化合物 Y 的摩尔比为 1:1 ~ 2.5。

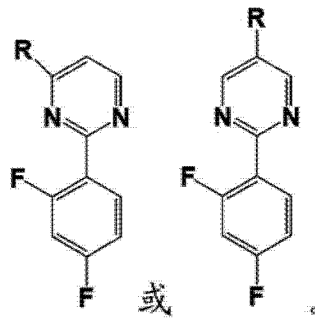
[0028] 在一个实施例中,所述有机钯催化剂为 $\text{Pd}(\text{PPh}_3)_4$ 或 $\text{Pd}(\text{PPh}_3)_2\text{Cl}_2$,所述有机钯催化剂与所述化合物 X 的摩尔比为 4 ~ 6 :100 ;

[0029] 所述碱液为 Na_2CO_3 或 K_2CO_3 的水溶液,所述碱液中溶质的摩尔数与所述化合物 X 的摩尔比为 2.4 ~ 3:1 ;

[0030] 所述有机溶剂为甲苯或 N, N- 二甲基甲酰胺。

[0031] 在一个实施例中,所述化合物 D 的结构式为 :

[0032]



[0033] 在一个实施例中,所述保护气体氛围为氮气氛围或惰性气体氛围 ;

[0034] 所述第一溶剂为体积比为 3 :1 的 2- 乙氧基乙醇和水的混合液 ;

[0035] 所述第二溶剂为 1, 2- 二氯乙烷、2- 乙氧基乙醇或 2- 甲氧基乙醇 ;

[0036] 所述催化剂为甲醇钠或乙醇钠 ;

[0037] 所述催化剂和所述化合物 E 的摩尔比为 8 ~ 12 :1。

[0038] 在一个实施例中,所述分离纯化后得到化合物 E 的操作为 :混合体系冷却至室温后除去部分溶剂,加入蒸馏水沉析,过滤后保留滤渣,并依次用蒸馏水和甲醇洗涤所述滤渣,干燥后得到所述化合物 E。

[0039] 在一个实施例中,所述分离纯化后得到蓝光有机电致磷光材料的操作为 :混合体系冷却至室温后除去部分溶剂,加入蒸馏水沉析,过滤后保留固体,并依次用甲醇和去离子水洗涤所述固体,最后用二氯甲烷和无水乙醇的混合液将所述固体重结晶,得到所述蓝光有机电致磷光材料。

[0040] 一种有机电致发光器件,包括依次层叠的基板、阳极、空穴注入层、空穴传输层、电子阻挡层、发光层、空穴阻挡层、电子传输层、电子注入缓冲层及阴极,所述发光层的材料包括发光主体材料和掺杂于所述发光主体材料中的发光客体材料,所述发光客体材料为上述的蓝光有机电致磷光材料。

[0041] 这种蓝光有机电致磷光材料以 2-(2', 4' - 二氟苯基) 嘧啶为环金属配体主体结构,以 3- 三氟甲基 -5-(2' - 吡啶基) -1, 2, 4- 三唑为辅助配体,将烷氧基引入嘧啶环中可以获得满意的能量传输效率和蓝光发光波长。相对于传统的蓝光磷光材料,这种蓝光有机电致磷光材料的色纯度较高。

附图说明

[0042] 图 1 为一实施方式的蓝光有机电致磷光材料的制备方法的流程图 ;

[0043] 图 2 为一实施方式的有机电致发光器件的结构示意图 ;

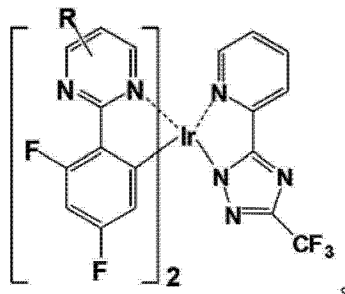
- [0044] 图 3 为实施例 1 制备的蓝光有机电致磷光材料的发射光谱图；
 [0045] 图 4 为实施例 2 制备的蓝光有机电致磷光材料的发射光谱图；
 [0046] 图 5 为实施例 3 制备的蓝光有机电致磷光材料的发射光谱图。

具体实施方式

[0047] 为使本发明的上述目的、特征和优点能够更加明显易懂，下面结合附图对本发明的具体实施方式做详细的说明。在下面的描述中阐述了很多具体细节以便于充分理解本发明。但是本发明能够以很多不同于在此描述的其它方式来实施，本领域技术人员可以在不违背本发明内涵的情况下做类似改进，因此本发明不受下面公开的具体实施的限制。

[0048] 一实施方式的蓝光有机电致磷光材料，具有如下结构式：

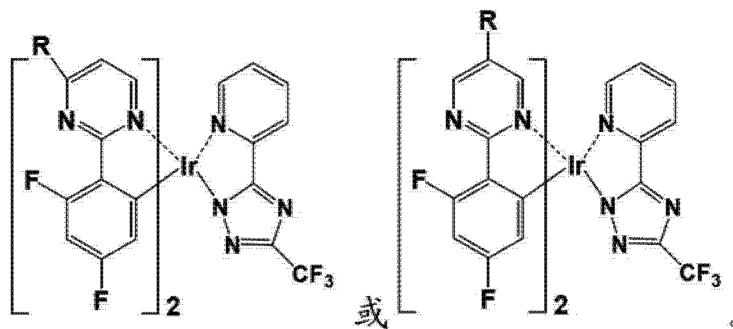
[0049]



[0050] 其中，-R 为通式为 $-C_nH_{2n+1}$ 的直链烷氧基或支链烷氧基，n 为 1 ~ 20 的整数。

[0051] 在一个较优的实施例中，-R 的取代位置在吡啶的 4-, 5- 位。此时，上述蓝光有机电致磷光材料的结构式为：

[0052]



[0053] 这种蓝光有机电致磷光材料可作为蓝光或白光有机电致发光器件的发光材料。

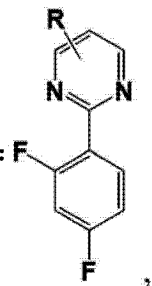
[0054] 这种蓝光有机电致磷光材料以 2-(2', 4' - 二氟苯基) 吡啶为环金属配体主体结构，以 3- 三氟甲基 -5-(2' - 吡啶基) -1, 2, 4- 三唑为辅助配体，将烷氧基引入吡啶环中可以获得满意的能量传输效率和蓝光发光波长。相对于传统的蓝光磷光材料，这种蓝光有机电致磷光材料的色纯度较高。

[0055] 此外，这种蓝光有机电致磷光材料以 2-(2', 4' - 二氟苯基) 吡啶为环金属配体主体结构，以 3- 三氟甲基 -5-(2' - 吡啶基) -1, 2, 4- 三唑为辅助配体，将不同长度的直链或直链式的给电子基团烷氧基引入吡啶环的不同取代位上，不仅能增加材料在普通有机溶剂中的溶解度，其在吡啶环上产生的空间位阻效应还能减少材料分子间的相互作用力，将减少固态膜中三重态激子的自淬灭现象，从而可以获得满意的发光效率；烷氧基较强的给

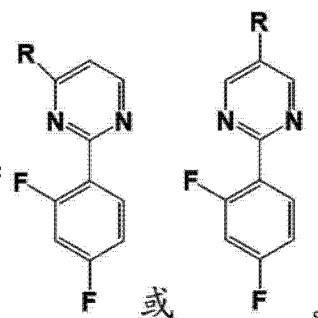
电子效应能有效蓝移材料的发光波长；同时，苯环上 4,6- 位的两个强给电子取代基 F 基和高场强辅助配体 3- 三氟甲基 -5-(2'- 吡啶基)-1,2,4- 三唑的引入不仅能有效地蓝移发光波长，异配型配合物的发光性能还可以因为分子内能量转移得到提高而改善，可降低蒸镀温度，增加成膜型并提高器件的稳定性。

[0056] 如图 1 所示的上述蓝光有机电致磷光材料的制备方法，包括如下步骤：

[0057] S10、提供化合物 D。

[0058] 化合物 D 的结构式为：，其中，-R 为通式为 $-C_nH_{2n+1}$ 的直链烷氧基或支链

烷氧基，n 为 1 ~ 20 的整数。

[0059] 在一个较优的实施例中，化合物 D 的结构式为：，此时，-R 的

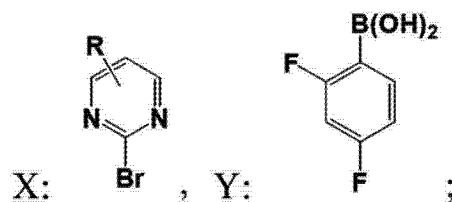
取代位置在吡啶的 4-,5- 位。

[0060] 化合物 D 可以直接从市场购买得到。

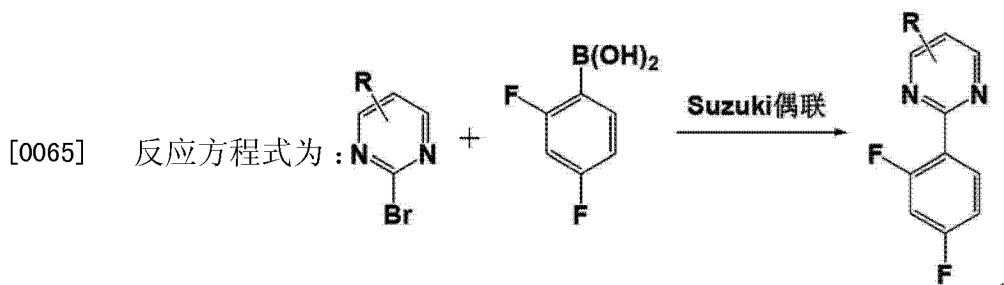
[0061] 本实施方式中，化合物 D 可以通过如下步骤制备得到：

[0062] 提供具有如下结构式的化合物 X 和化合物 Y，

[0063]



[0064] 在保护气体氛围中，有机钯催化剂、碱液和有机溶剂存在的条件下，将化合物 X 和所述化合物 Y 在回流状态下搅拌 8h ~ 15h 进行 Suzuki 耦合反应，分离纯化后得到化合物 D。



[0066] 其中,化合物 X 和化合物 Y 的摩尔比可以为 1:1 ~ 2.5。

[0067] 保护气体氛围可以为氮气氛围或惰性气体氛围。

[0068] 有机钯催化剂可以为 $\text{Pd}(\text{PPh}_3)_4$ 或 $\text{Pd}(\text{PPh}_3)_2\text{Cl}_2$ 。

[0069] 有机钯催化剂与化合物 X 的摩尔比为 4 ~ 6 :100。

[0070] 碱液可以为 Na_2CO_3 或 K_2CO_3 的水溶液。

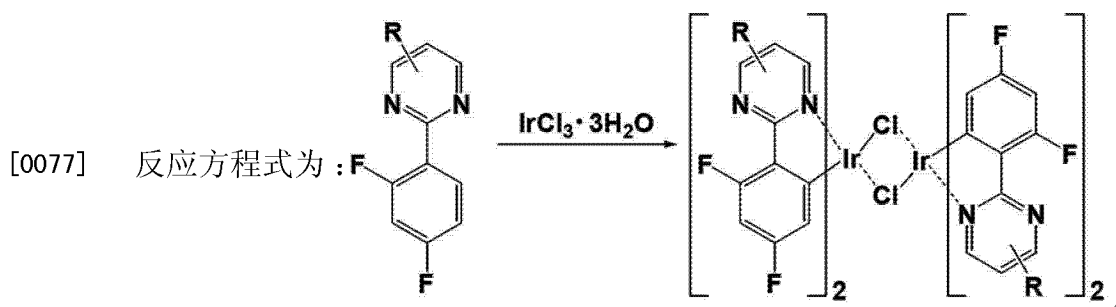
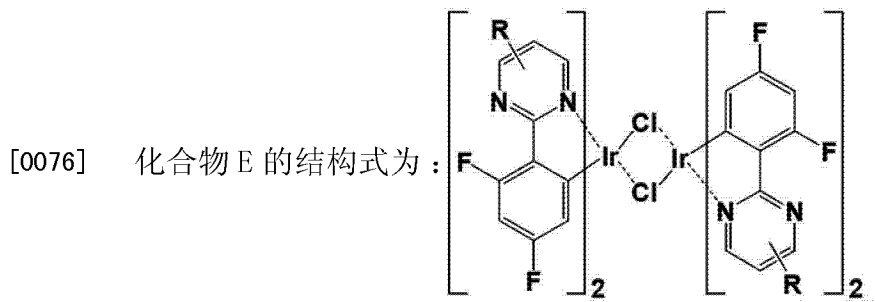
[0071] 碱液中溶质的摩尔数与化合物 X 的摩尔比为 2.4 ~ 3:1。

[0072] 有机溶剂可以为甲苯或 N, N- 二甲基甲酰胺。

[0073] 本实施方式中,分离纯化后得到化合物 D 的操作可以为:混合体系冷却至室温后,用二氯甲烷萃取,分液后保留有机相并用水洗至中性,接着用无水硫酸镁干燥,过滤后保留滤液,滤液减压蒸馏后保留固体残余。以二氯甲烷为洗脱液,对得到的固体残余进行硅胶柱色谱分离,干燥后得到化合物 D。

[0074] 可以理解,分离纯化的方法不限于上述方法,能够对上述反应产物进行分离纯化的方法均可以。

[0075] S20、在保护气体氛围下,将步骤 S10 得到的化合物 D 和 $\text{IrCl}_3 \cdot 3\text{H}_2\text{O}$ 溶解在第一溶剂中,在回流状态下搅拌反应 22h ~ 25h,分离纯化后得到化合物 E。



[0078] S20 中,化合物 D 和 $\text{IrCl}_3 \cdot 3\text{H}_2\text{O}$ 的摩尔比为 2 ~ 3:1。

[0079] 保护气体氛围可以为氮气氛围或惰性气体氛围。

[0080] 第一溶剂可以为体积比为 3 :1 的 2- 乙氧基乙醇和水的混合液。

[0081] 本实施方式中,分离纯化后得到化合物 E 的操作为:混合体系冷却至室温后除去部分溶剂,加入蒸馏水沉析,过滤后保留滤渣,并依次用蒸馏水和甲醇洗涤所述滤渣,干燥后得到所述化合物 E。

[0082] 混合体系除去部分溶剂的操作可以通过旋转蒸发实现。除去溶剂的具体量依照实际操作而定,一般而言,旋转蒸发至混合体系中出现固体即可。

[0083] 可以理解,分离纯化的方法不限于上述方法,能够对上述反应产物进行分离纯化的方法均可以。

[0084] S30、在上述保护气体氛围下，第二溶剂和催化剂存在的条件下，将步骤 S20 得到的化合物 E 和化合物 G 在回流状态下搅拌反应 15h ~ 20h，分离纯化后得到蓝光有机电致磷光材料。

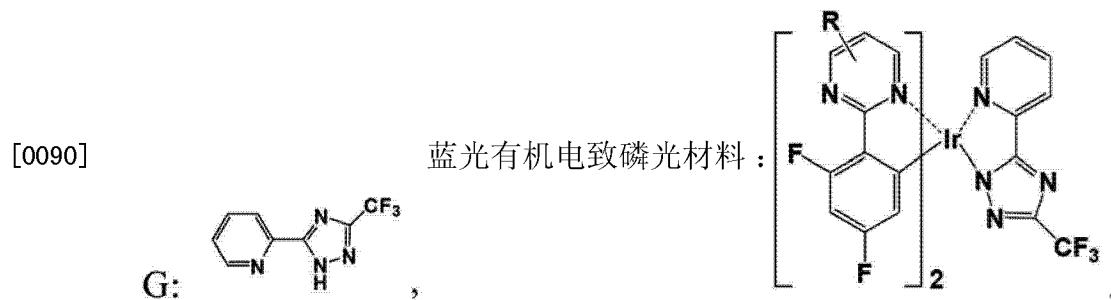
[0085] 保护气体氛围可以为氮气氛围或惰性气体氛围。

[0086] 第二溶剂为 1,2-二氯乙烷、2-乙氧基乙醇或 2-甲氧基乙醇。

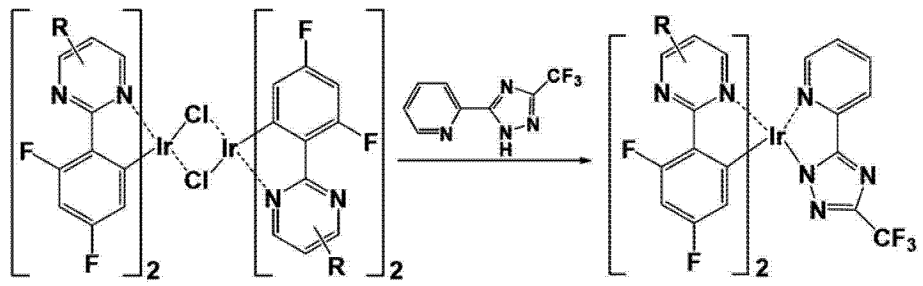
[0087] 催化剂为甲醇钠或乙醇钠。

[0088] 催化剂和化合物 E 的摩尔比为 8 ~ 12 : 1。

[0089] 化合物 G 和蓝光有机电致磷光材料的结构式如下：



[0091] 反应方程式为：



[0092] S30 中，化合物 E 和化合物 G 的摩尔比可以为 2 ~ 2.5 : 1。

[0093] 本实施方式中，分离纯化后得到蓝光有机电致磷光材料的操作为：混合体系冷却至室温后除去部分溶剂，加入蒸馏水沉析，过滤后保留固体，并依次用甲醇和去离子水洗涤所述固体，最后用二氯甲烷和无水乙醇的混合液将所述固体重结晶，得到所述蓝光有机电致磷光材料。

[0094] 二氯甲烷和无水乙醇的混合液的具体比例根据实际操作情况确定。

[0095] 除去溶剂的操作可以通过旋转蒸发实现。

[0096] 可以理解，分离纯化的方法不限于上述方法，能够对上述反应产物进行分离纯化的方法均可以。

[0097] 这种蓝光有机电致磷光材料的制备方法操作简单，对设备要求不高，易于推广实施。

[0098] 这种蓝光有机电致磷光材料的制备方法制备得到的蓝光有机电致磷光材料可以应用于有机电致发光、有机太阳能电池、有机晶体管等领域。

[0099] 下面仅以有机电致发光器件为例进行简单介绍。

[0100] 如图 2 所示的一实施方式的有机电致发光器件 100，包括依次层叠的基板 101、阳极 103、空穴注入层 105、空穴传输层 107、电子阻挡层 119、发光层 111、空穴阻挡层 113、电子传输层 115、电子注入缓冲层 117 及阴极 119。

[0101] 基板 101、阳极 103、空穴注入层 105、空穴传输层 107、电子阻挡层 119、空穴阻挡层 113、电子传输层 115、电子注入缓冲层 117 及阴极 119 的材料分别为本领域的常用材料。例如,基板 101 为普通玻璃基板,阳极 103 的材料为氧化铟锡(ITO)、空穴注入层 105 的材料为 4,4',4''-三(N-3-甲基苯基-N-苯基氨基)三苯胺(m-MTDATA)、空穴传输层 107 的材料为 N,N'-双(1-萘基)-N,N'-二苯基对二氨基联苯(NPB)、电子阻挡层 109 的材料为 1,3-双(9-咔唑基)苯(mCP)、空穴阻挡层 113 的材料为 2,9-二甲基-4,7-二苯基-邻二氮杂菲(BCP)、电子传输层 115 的材料为三(8-羟基喹啉)铝(Alq_3)、电子注入缓冲层 117 的材料为 LiF、阴极 119 的材料为金属铝(Al)。

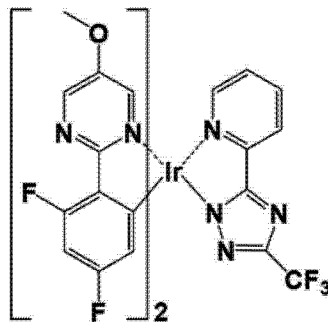
[0102] 发光层 111 的材料包括发光主体材料和掺杂于发光主体材料中的发光客体材料。发光客体材料为蓝光有机电致磷光材料,发光主体材料为 1,3-双(9-咔唑基)苯(mCP),客体材料与主体材料的质量比为 7:100。

[0103] 以下为具体实施例,实施例中使用的测试与制备仪器包括:高真空镀膜系统(沈阳科学仪器研制中心有限公司),美国海洋光学 Ocean Optics 的 USB4000 光纤光谱仪测试电致发光光谱,日本岛津 RF-5301PC 型荧光分光光度计测材料发光光谱。

[0104] 实施例 1

[0105] 制备具有如下结构式的蓝光有机电致磷光材料:

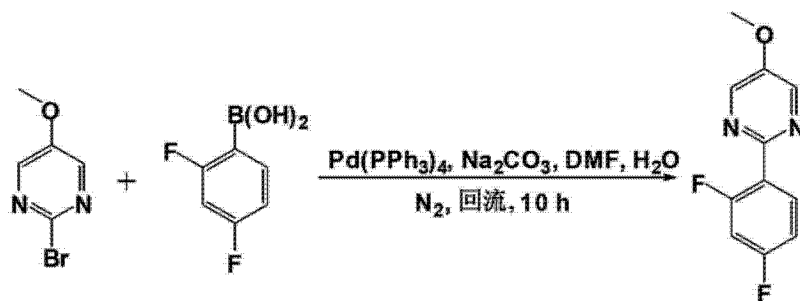
[0106]



[0107] 双(2-(4',6'-二氟苯基)-5-甲氧基嘧啶-N,C^{2'}) (3-三氟甲基-5-(2'-吡啶基)-1,2,4-三唑)合铱。

[0108] (1)、2-(2',4'-二氟苯基)-5-甲氧基嘧啶的合成。

[0109]



[0110] 在氮气的保护下,将 1.89g(10mmol)2-溴-5-甲氧基咪唑、1.58g(10mmol)2,4-二氟苯硼酸和 0.35g(0.4mmol)四(三苯基磷)合铱溶于 40mL DMF 中,随后往反应体系中滴加 20mL 含 3.18g(30mmol)碳酸钠的水溶液。加热至回流状态下搅拌反应 10h。待反应液冷至室温后用二氯甲烷萃取,分液后保留有机相,水洗至中性后无水硫酸镁干燥。过

滤后保留滤液,接着滤液减压蒸出溶剂得粗产物。以二氯甲烷为洗脱液对得到的粗产物进行硅胶柱色谱分离,干燥后得固体 1.11g,收率为 50.0%。

[0111] 结构鉴定:

[0112] 质谱 (MS m/z): 222.1 (M^+);

[0113] 元素分析: $C_{11}H_8F_2N_2O$;

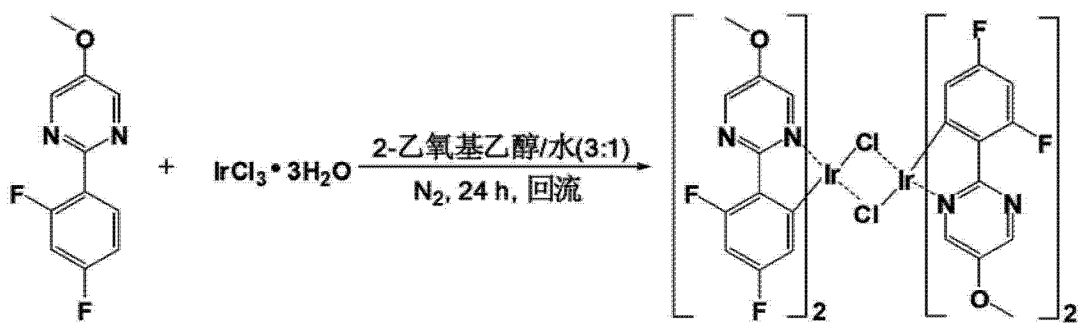
[0114] 理论值: C, 59.46; H, 3.63; F, 17.10; N, 12.61; O, 7.20;

[0115] 实测值: C, 59.42; H, 3.68; F, 17.14; N, 12.55; O, 7.21。

[0116] 以上数据证实上述反应所得到的物质是 2-(2', 4' - 二氟苯基)-5-甲氧基嘧啶。

[0117] (2)、配体为 2-(2', 4' - 二氟苯基)-5-甲氧基嘧啶的含铱二氯二聚体的合成。

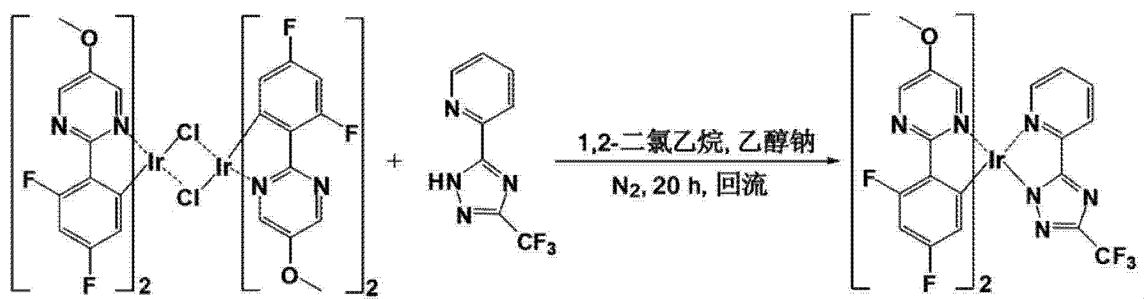
[0118]



[0119] 在氮气的保护下,将 0.70g (2mmol) 三水合三氯化铱和 0.98g (4.4mmol) 2-(2', 4' - 二氟苯基)-5-甲氧基嘧啶溶于 30mL 体积比为 3:1 的 2-乙氧基乙醇和水的混合液中,回流状态下搅拌反应 24h。混合体系冷至室温后,旋转蒸发除去部分溶剂,加入适量蒸馏水,过滤并保留固体。固体依次用蒸馏水、甲醇洗涤,干燥后得固体物 0.67g,收率为 50.0%。得到的二聚物无需进一步提纯,可直接投入下一步反应中。

[0120] (3)、双 (2-(4', 6' - 二氟苯基)-5-甲氧基嘧啶-N, C^{2'}) (3-三氟甲基-5-(2'-吡啶基)-1, 2, 4-三唑) 合铱的合成。

[0121]



[0122] 在氮气的保护下,将 1.34g (1mmol) 配体为 2-(2', 4' - 二氟苯基)-5-甲氧基嘧啶的含铱二氯二聚体和 0.47g (2.2mmol) 3-三氟甲基-5-(2'-吡啶基)-1, 2, 4-三唑溶于 30mL 1, 2-二氯乙烷中,随后滴加 20mL 含 0.54g (8mmol) 乙醇钠的 1, 2-二氯乙烷溶液,搅拌加热升温至回流状态反应 20h。混合体系自然冷至室温后,浓缩除去部分溶剂,倾入适量蒸馏水,有固体析出。过滤后保留固体,固体依次用去离子水、甲醇洗涤数次后,以二氯甲烷和无水乙醇的混合液对固体进行重结晶得纯化产物 0.56g,收率为 33.0%。

[0123] 结构鉴定:

[0124] 质谱 (MS m/z) :848.1 (M^+) ;

[0125] 元素分析 :C30H18F7IrN8O2 ;

[0126] 理论值 :C, 42.50;H, 2.14;F, 15.69;Ir, 22.67;N, 13.22;O, 3.77 ;

[0127] 实测值 :C, 42.57;H, 2.11;F, 15.65;Ir, 22.69;N, 13.24;O, 3.74。

[0128] 以上数据证实上述反应所得到的物质是配合物双(2-(4',6'-二氟苯基)-5-己氧基嘧啶-N,C^{2'}) (3-三氟甲基-5-(2'-吡啶基)-1,2,4-三唑) 合铱。

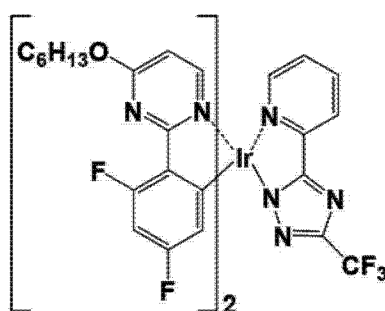
[0129] 如图3所示,横轴为波长(Wavelength,单位nm),纵轴为标准化的光致发光强度(Normalized PL intensity),本实施例制备的蓝光有机电致磷光材料在298K下CH₂Cl₂溶液(~10⁻⁶M)中的发射光谱的最大发射峰在463nm处,同时在493nm处有一肩峰,从而说明这种蓝光有机电致磷光材料可以广泛应用在有机电致发光器件的制备领域。

[0130] 此外,10⁻⁶M的本实施例制备的蓝光有机电致磷光材料的CH₂Cl₂溶液在298K温度下,以浓度为~10⁻⁶M的FIrpic的CH₂Cl₂溶液为标准(Φ_{PL} =0.26),测得终产物的 Φ_{PL} =0.13,可见本实施例制备的蓝光有机电致磷光材料具有较高的发光量子效率。

[0131] 实施例2

[0132] 制备具有如下结构式的蓝光有机电致磷光材料:

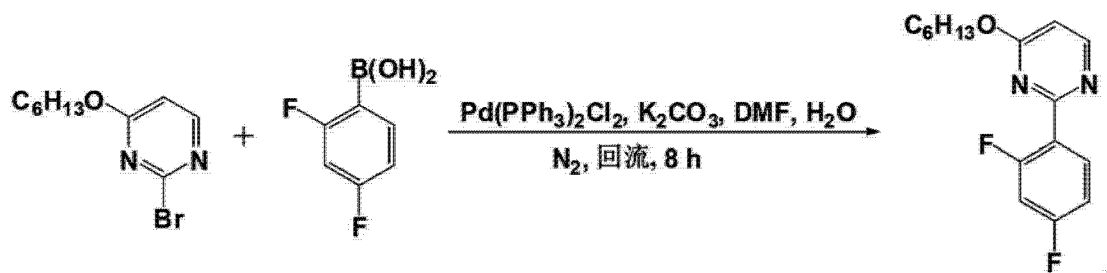
[0133]



[0134] 双(2-(4',6'-二氟苯基)-5-己氧基嘧啶-N,C^{2'}) (3-三氟甲基-5-(2'-吡啶基)-1,2,4-三唑) 合铱。

[0135] (1)、2-(2',4'-二氟苯基)-4-己氧基嘧啶的合成。

[0136]



[0137] 在氮气的保护下,将1.30g(5mmol)2-溴-4-己氧基嘧啶、0.95g(6mmol)2,4-二氟苯硼酸和0.21g(0.3mmol)双氯二(三苯基磷)合铱溶于30mL DMF中,随后往反应体系中滴加15mL含1.66g(12mmol)碳酸钾的水溶液。加热至回流状态下搅拌反应8h。待反应液冷至室温后用二氯甲烷萃取,分液后保留有机相,水洗至中性后无水硫酸镁干燥。过滤后保留滤液,接着滤液减压蒸出溶剂得粗产物。以二氯甲烷为洗脱液对得到的粗产物进行硅胶柱色谱分离,干燥后得固体0.51g,收率为34.9%。

[0138] 结构鉴定：

[0139] 质谱 (MS m/z) :292.1 (M^+)；

[0140] 元素分析 :C₁₆H₁₈F₂N₂O；

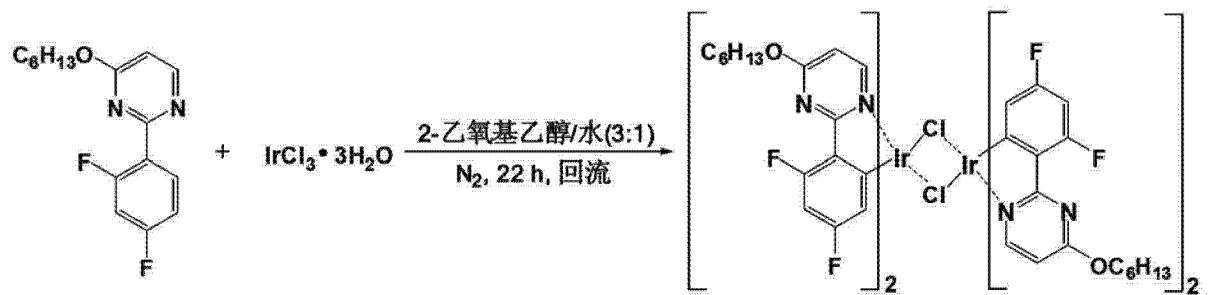
[0141] 理论值 :C, 65.74;H, 6.21;F, 13.00;N, 9.58;O, 5.47；

[0142] 实测值 :C, 65.77;H, 6.18;F, 13.04;N, 9.52;O, 5.49。

[0143] 以上数据证实上述反应所得到的物质是 2-(2', 4' - 二氟苯基)-4-己氧基嘧啶。

[0144] (2)、配体为 2-(2', 4' - 二氟苯基)-4-己氧基嘧啶的含铱二氯二聚体的合成。

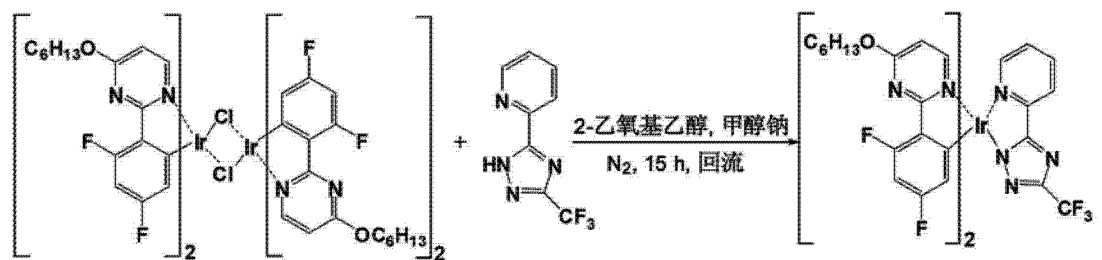
[0145]



[0146] 在氮气的保护下，将 0.35g(1mmol) 三水合三氯化铱和 0.64g(2.2mmol) 2-(2', 4' - 二氟苯基)-4-己氧基嘧啶溶于 25mL 体积比为 3:1 的 2-乙氧基乙醇和水的混合液中，回流状态下搅拌反应 22h。混合体系冷至室温后，旋转蒸发除去部分溶剂，加入适量蒸馏水，过滤并保留固体。固体依次用蒸馏水、甲醇洗涤，干燥后得固体物 0.16g，收率为 19.7%。得到的二聚物无需进一步提纯，可直接投入下一步反应中。

[0147] (3)、双 (2-(4', 6' - 二氟苯基)-4-己氧基嘧啶 -N, C^{2'}) (3-三氟甲基-5-(2'-吡啶基)-1, 2, 4-三唑) 合铱的合成。

[0148]



[0149] 在氮气的保护下，将 0.81g(0.5mmol) 配体为 2-(2', 4' - 二氟苯基)-4-己氧基嘧啶的含铱二氯二聚体和 0.21g(1mmol) 3-三氟甲基-5-(2'-吡啶基)-1, 2, 4-三唑溶于 20mL 2-乙氧基乙醇中，随后滴加 10mL 含 0.27g(5mmol) 甲醇钠的 2-乙氧基乙醇溶液，搅拌加热升温至回流状态反应 15h。混合体系自然冷至室温后，浓缩除去部分溶剂，倾入适量蒸馏水，有固体析出。过滤后保留固体，固体依次用去离子水、甲醇洗涤数次，以二氯甲烷和无水乙醇的混合液对固体进行重结晶得到纯化产物 0.17g，收率为 17.2%。

[0150] 结构鉴定：

[0151] 质谱 (MS m/z) :988.3 (M^+)；

[0152] 元素分析 :C₄₀H₃₈F₇IrN₈O₂；

[0153] 理论值 :C, 48.63;H, 3.88;F, 13.46;Ir, 19.46;N, 11.34;O, 3.24 ;

[0154] 实测值 :C, 48.65;H, 3.81;F, 13.53;Ir, 19.42;N, 11.38;O, 3.21。

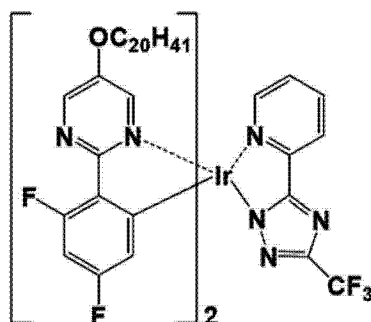
[0155] 以上数据证实上述反应所得到的物质是配合物双(2-(4',6'-二氟苯基)-5-二十烷氧基嘧啶-N,C^{2'}) (3-三氟甲基-5-(2'-吡啶基)-1,2,4-三唑) 合铱。

[0156] 如图4所示,本实施例制备的蓝光有机电致磷光材料在298K下CH₂Cl₂溶液(~10⁻⁶M)中的发射光谱的最大发射峰在473nm处,同时在507nm处有一肩峰。以相同浓度的FIrpic的CH₂Cl₂溶液为标准($\Phi_{\text{PL}}=0.26$),测得本实施例制备的蓝光有机电致磷光材料的 $\Phi_{\text{PL}}=0.09$,可见本实施例制备的蓝光有机电致磷光材料具有较高的发光量子效率。

[0157] 实施例3

[0158] 制备具有如下结构式的蓝光有机电致磷光材料:

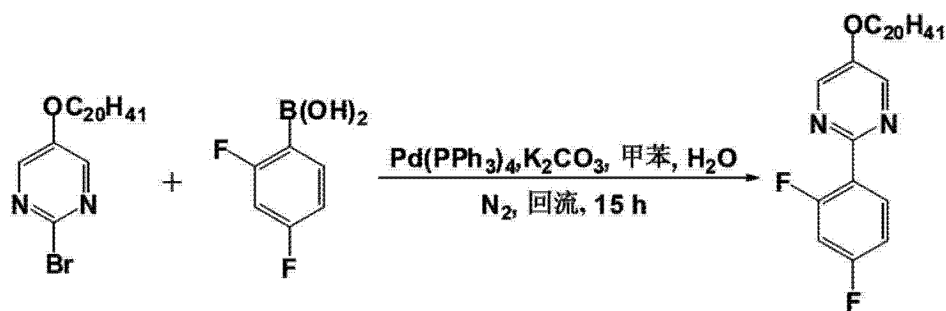
[0159]



[0160] 双(2-(4',6'-二氟苯基)-5-二十烷氧基嘧啶-N,C^{2'}) (3-三氟甲基-5-(2'-吡啶基)-1,2,4-三唑) 合铱。

[0161] (1)、2-(2',4'-二氟苯基)-5-二十烷氧基嘧啶的合成c。

[0162]



[0163] 在氮气的保护下,0.91g(2mmol)2-溴-5-二十烷氧基嘧啶、0.79g(5mmol)2,4-二氟苯硼酸和0.12g(0.1mmol)四(三苯基磷)合铱溶于20mL甲苯中,随后往反应体系中滴加10mL含0.69g(5mmol)碳酸钾的水溶液。加热至回流状态下搅拌反应15h。待反应液冷至室温后用二氯甲烷萃取,分液后保留有机相,水洗至中性后无水硫酸镁干燥。过滤后保留滤液,接着滤液减压蒸出溶剂得粗产物。以二氯甲烷为洗脱液对得到的粗产物进行硅胶柱色谱分离,干燥后得固体0.16g,收率为16.4%。

[0164] 结构鉴定:

[0165] 质谱(MS m/z):488.4(M⁺);

[0166] 元素分析:C30H46F2N2O;

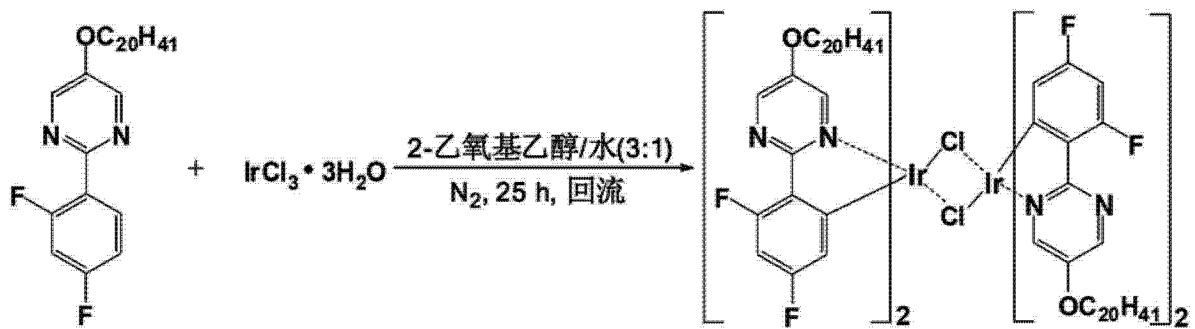
[0167] 理论值:C,73.73;H,9.49;F,7.78;N,5.73;O,3.27;

[0168] 实测值 :C, 73. 81;H, 9. 40;F, 7. 82;N, 5. 72;O, 3. 25。

[0169] 以上数据证实上述反应所得到的物质是 2-(2', 4' - 二氟苯基)-5-二十烷氧基嘧啶。

[0170] (2)、配体为 2-(2', 4' - 二氟苯基)-5-二十烷氧基嘧啶的含铱二氯二聚体的合成。

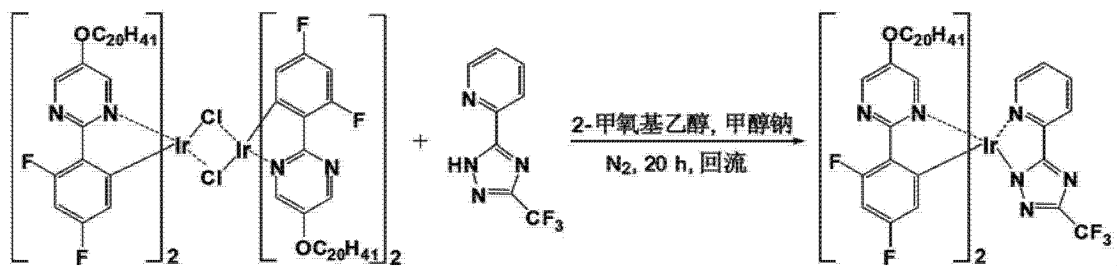
[0171]



[0172] 在氮气的保护下, 将 0. 18g(0. 5mmol) 三水合三氯化铱和 0. 73g(1. 5mmol) 2-(2', 4' - 二氟苯基)-5-二十烷氧基嘧啶溶于 30mL 体积比为 3:1 的 2-乙氧基乙醇和水的混合液中, 在回流状态下搅拌反应 25h。混合体系冷至室温后, 旋转蒸发除去部分溶剂, 加入适量蒸馏水, 过滤并保留固体。固体依次用蒸馏水、甲醇洗涤, 干燥后得固体物 0. 08g, 收率为 13. 3%。得到的二聚物无需进一步提纯, 可直接投入下一步反应中。

[0173] (3)、双(2-(4', 6'-二氟苯基)-5-二十烷氧基嘧啶-N, C^{2'}) (3-三氟甲基-5-(2'-吡啶基)-1, 2, 4-三唑) 合铱的合成。

[0174]



[0175] 在氮气的保护下, 将 0. 48g(0. 2mmol) 配体为 2-(2', 4' - 二氟苯基)-5-二十烷氧基嘧啶的含铱二氯二聚体和 0. 11g(0. 5mmol) 3-三氟甲基-5-(2'-吡啶基)-1, 2, 4-三唑溶于 10mL 2-甲氧基乙醇中, 随后滴加 10mL 含 0. 13g(2. 4mmol) 甲醇钠的 2-甲氧基乙醇溶液, 搅拌加热升温至回流状态反应 16h。混合体系自然冷至室温后, 浓缩除去部分溶剂, 倾入适量蒸馏水, 有固体析出。过滤后保留固体, 固体依次用去离子水、甲醇洗涤数次, 以二氯甲烷和无水乙醇的混合液对固体进行重结晶得到纯化产物 0. 05g 纯产物, 收率为 9. 0%。

[0176] 结构鉴定:

[0177] 质谱 (MS m/z) :1380. 7(M⁺) ;

[0178] 元素分析 :C68H94F7IrN8O2 ;

[0179] 理论值 :C, 59. 15;H, 6. 86;F, 9. 63;Ir, 13. 92;N, 8. 12;O, 2. 32 ;

[0180] 实测值 :C, 59. 19;H, 6. 81;F, 9. 66;Ir, 13. 94;N, 8. 11;O, 2. 29。

[0181] 以上数据证实上述反应所得到的物质是配合物双(2-(4', 6'-二氟苯基)-5-二十烷氧基嘧啶-N, C^{2'}) (3-三氟甲基-5-(2'-吡啶基)-1, 2, 4-三唑) 合铱的合成。

基)-5-二十烷氧基嘧啶-N, C^{2'}) (3-三氟甲基-5-(2'-吡啶基)-1, 2, 4-三唑) 合铱。

[0182] 如图 5 所示, 本实施例制备的蓝光有机电致磷光材料在 298K 下 CH₂Cl₂ 溶液 (~10⁻⁶M) 中的发射光谱的最大发射峰在 484nm 处, 同时在 513nm 处有一肩峰。以相同浓度的 FIrpic 的 CH₂Cl₂ 溶液为标准 ($\Phi_{\text{PL}}=0.26$), 测得本实施例制备的蓝光有机电致磷光材料的 $\Phi_{\text{PL}}=0.04$ 。

[0183] 实施例 5

[0184] 以实施例 1 制备的蓝光有机电致磷光材料作为发光客体材料的有机电致发光器件的制备。

[0185] 在一个玻璃基板片上沉积一层厚度为 200nm、方块电阻为 10 ~ 20 Ω /口的氧化铟锡 (ITO) 作为阳极, 通过真空蒸镀依次在阳极上制备一层厚度为 40nm 的 m-MTDATA 作为空穴注入层, 一层厚度为 20nm 的 NPB 作为空穴传输层, 一层厚度为 10nm 的 mCP 作为电子阻挡层, 一层厚度为 30nm 的发光层, 一层厚度为 10nm 的 BCP 作为空穴阻挡层、一层厚度为 35nm 的 Alq₃ 作为电子传输层、厚度为 1nm 的 LiF 作为电子注入缓冲层, 最后在电子注入缓冲层上采用真空镀膜沉积技术沉积厚度为 120nm 的金属 Al, 作为阴极。

[0186] 发光层的材料为掺杂有实施例 1 制备的蓝光有机电致磷光材料的 mCP, 实施例 1 制备的蓝光有机电致磷光材料与 mCP 的质量比为 7 :100。

[0187] 由 Keithley 源测量系统 (Keithley2400Sourcemeter) 测试上述有机电致发光器件的电流-亮度-电压特性, 用法国 JY 公司 SPEX CCD3000 光谱仪测量其电致发光光谱, 所有测量均在室温大气中完成, 测得有机电致发光器件的最大外量子效率为 4.4%, 最大流明效率为 4.7lm/W。

[0188] 以上所述实施例仅表达了本发明的几种实施方式, 其描述较为具体和详细, 但并不能因此而理解为对本发明专利范围的限制。应当指出的是, 对于本领域的普通技术人员来说, 在不脱离本发明构思的前提下, 还可以做出若干变形和改进, 这些都属于本发明的保护范围。因此, 本发明的保护范围应以所附权利要求为准。

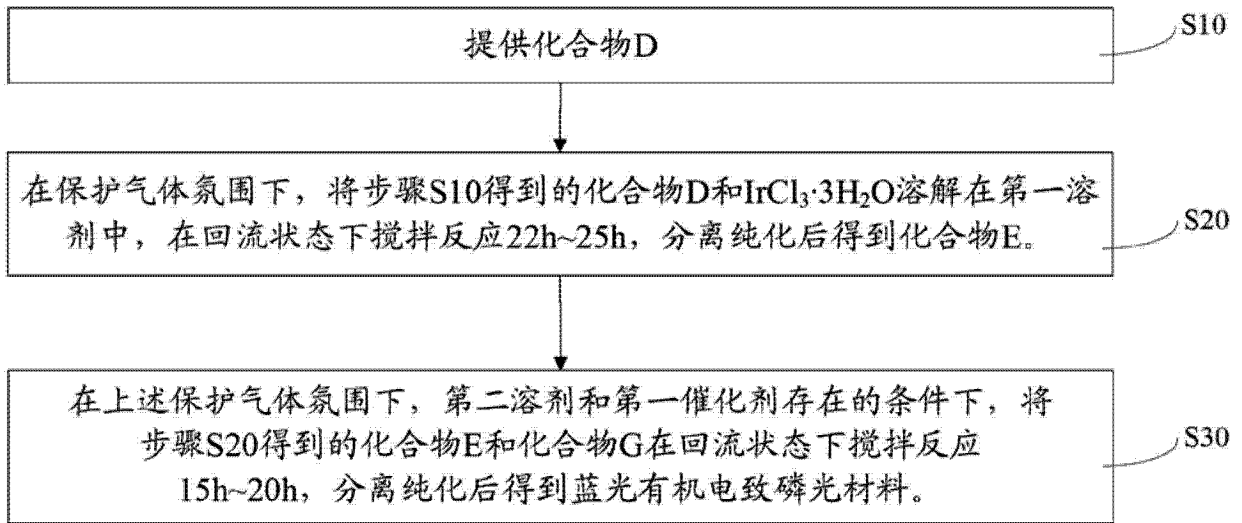


图 1

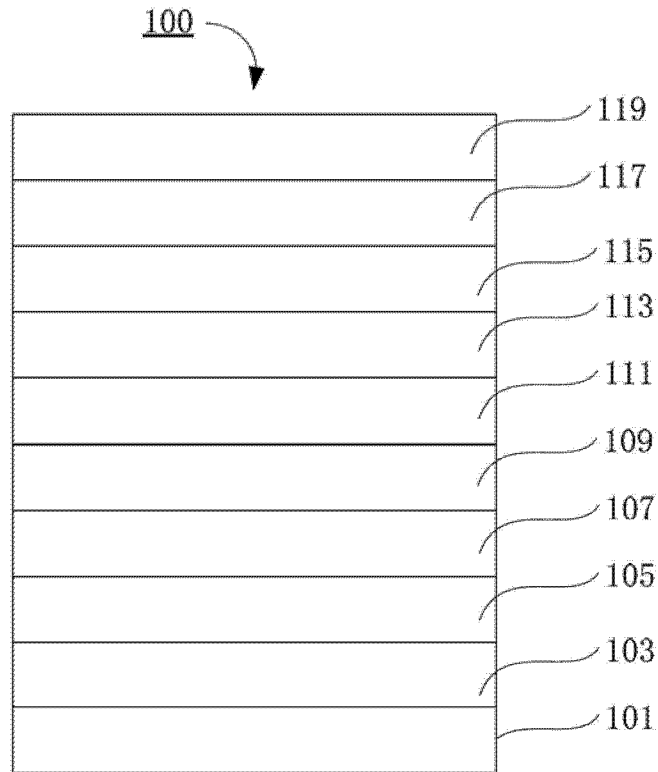


图 2

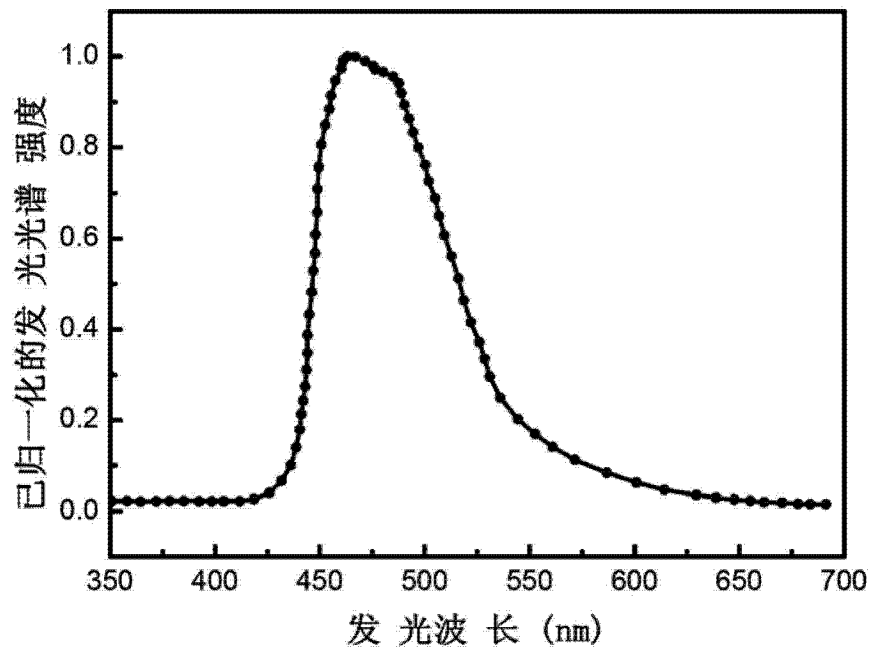


图 3

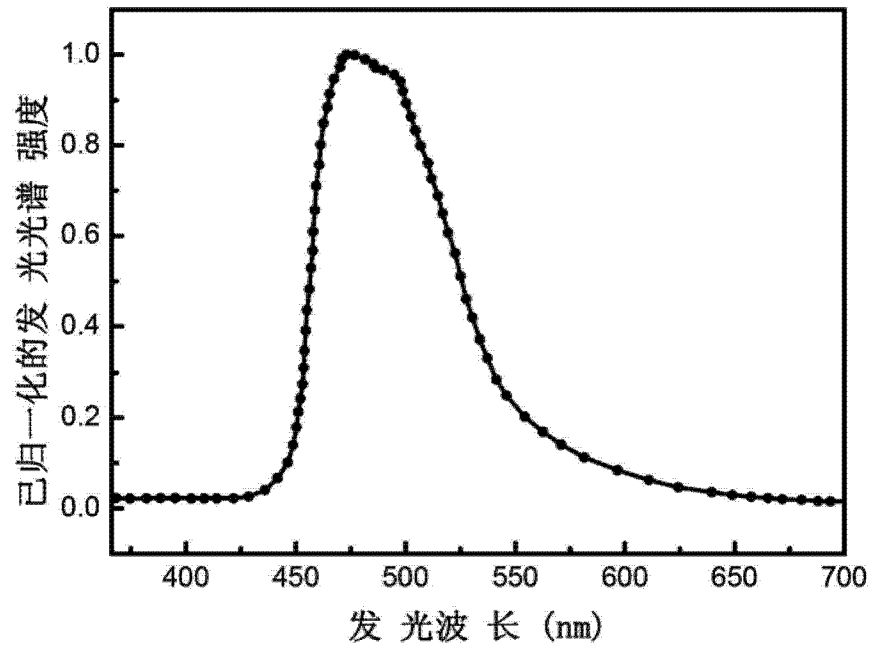


图 4

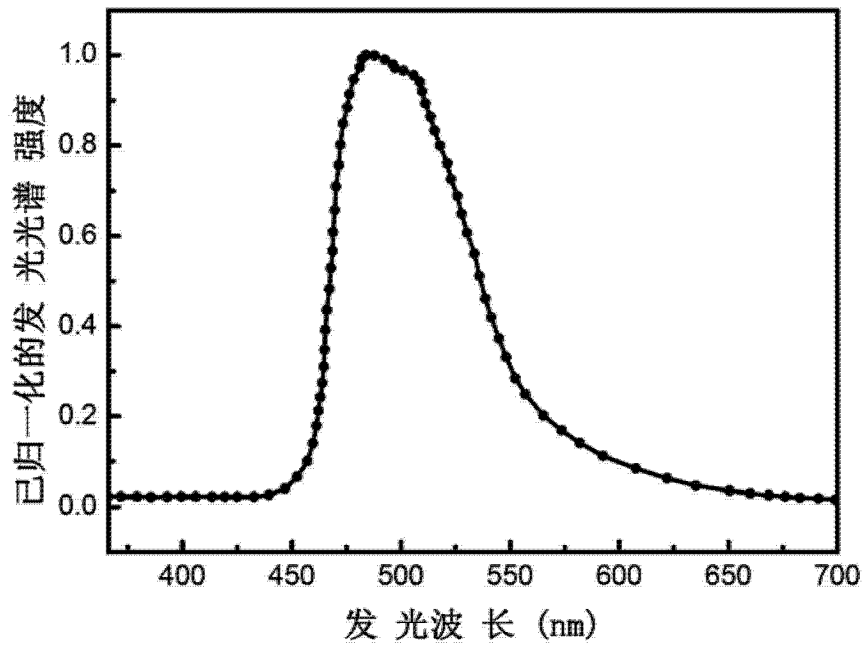


图 5